

Starkniederschlagshöhen und -spenden gemäß KOSTRA-DWD-2020

Rasterfeld 215188

(Zeile 215, Spalte 188)

Regenspende und Bemessungsniederschlagswerte in Abhängigkeit von Wiederkehrzeit T und Dauerstufe D

| Dauerstufe D | | Wiederkehrzeit T | | | | | | | | | | | | | | | | | |
|--------------|-----|------------------|------------|-------|------------|-------|------------|-------|------------|-------|------------|-------|------------|-------|------------|-------|------------|-------|------------|
| | | 1 a | | 2 a | | 3 a | | 5 a | | 10 a | | 20 a | | 30 a | | 50 a | | 100 a | |
| min | Std | mm | l / (s ha) | mm | l / (s ha) | mm | l / (s ha) | mm | l / (s ha) | mm | l / (s ha) | mm | l / (s ha) | mm | l / (s ha) | mm | l / (s ha) | mm | l / (s ha) |
| 5 | | 8,0 | 266,7 | 10,0 | 333,3 | 11,2 | 373,3 | 12,7 | 423,3 | 15,0 | 500,0 | 17,3 | 576,7 | 18,9 | 630,0 | 20,9 | 696,7 | 23,7 | 790,0 |
| 10 | | 10,7 | 178,3 | 13,2 | 220,0 | 14,8 | 246,7 | 16,9 | 281,7 | 20,0 | 333,3 | 23,1 | 385,0 | 25,1 | 418,3 | 27,8 | 463,3 | 31,6 | 526,7 |
| 15 | | 12,5 | 138,9 | 15,5 | 172,2 | 17,3 | 192,2 | 19,8 | 220,0 | 23,3 | 258,9 | 27,0 | 300,0 | 29,3 | 325,6 | 32,5 | 361,1 | 36,9 | 410,0 |
| 20 | | 13,9 | 115,8 | 17,2 | 143,3 | 19,3 | 160,8 | 22,0 | 183,3 | 26,0 | 216,7 | 30,0 | 250,0 | 32,7 | 272,5 | 36,1 | 300,8 | 41,1 | 342,5 |
| 30 | | 16,1 | 89,4 | 20,0 | 111,1 | 22,4 | 124,4 | 25,5 | 141,7 | 30,1 | 167,2 | 34,8 | 193,3 | 37,9 | 210,6 | 41,9 | 232,8 | 47,7 | 265,0 |
| 45 | | 18,6 | 68,9 | 23,1 | 85,6 | 25,9 | 95,9 | 29,5 | 109,3 | 34,8 | 128,9 | 40,2 | 148,9 | 43,8 | 162,2 | 48,4 | 179,3 | 55,1 | 204,1 |
| 60 | 1 | 20,6 | 57,2 | 25,6 | 71,1 | 28,6 | 79,4 | 32,7 | 90,8 | 38,5 | 106,9 | 44,5 | 123,6 | 48,4 | 134,4 | 53,6 | 148,9 | 61,0 | 169,4 |
| 90 | 1,5 | 23,7 | 43,9 | 29,4 | 54,4 | 33,0 | 61,1 | 37,7 | 69,8 | 44,4 | 82,2 | 51,3 | 95,0 | 55,8 | 103,3 | 61,8 | 114,4 | 70,3 | 130,2 |
| 120 | 2 | 26,2 | 36,4 | 32,5 | 45,1 | 36,5 | 50,7 | 41,6 | 57,8 | 49,0 | 68,1 | 56,7 | 78,8 | 61,7 | 85,7 | 68,3 | 94,9 | 77,7 | 107,9 |
| 180 | 3 | 30,2 | 28,0 | 37,5 | 34,7 | 42,0 | 38,9 | 47,9 | 44,4 | 56,4 | 52,2 | 65,2 | 60,4 | 71,0 | 65,7 | 78,5 | 72,7 | 89,4 | 82,8 |
| 240 | 4 | 33,3 | 23,1 | 41,4 | 28,8 | 46,4 | 32,2 | 52,9 | 36,7 | 62,3 | 43,3 | 72,0 | 50,0 | 78,4 | 54,4 | 86,8 | 60,3 | 98,7 | 68,5 |
| 360 | 6 | 38,3 | 17,7 | 47,6 | 22,0 | 53,3 | 24,7 | 60,8 | 28,1 | 71,7 | 33,2 | 82,9 | 38,4 | 90,2 | 41,8 | 99,8 | 46,2 | 113,5 | 52,5 |
| 540 | 9 | 44,1 | 13,6 | 54,7 | 16,9 | 61,3 | 18,9 | 69,9 | 21,6 | 82,4 | 25,4 | 95,3 | 29,4 | 103,7 | 32,0 | 114,7 | 35,4 | 130,5 | 40,3 |
| 720 | 12 | 48,6 | 11,3 | 60,4 | 14,0 | 67,6 | 15,6 | 77,2 | 17,9 | 91,0 | 21,1 | 105,1 | 24,3 | 114,4 | 26,5 | 126,6 | 29,3 | 144,1 | 33,4 |
| 1080 | 18 | 55,9 | 8,6 | 69,4 | 10,7 | 77,8 | 12,0 | 88,7 | 13,7 | 104,5 | 16,1 | 120,9 | 18,7 | 131,5 | 20,3 | 145,5 | 22,5 | 165,6 | 25,6 |
| 1440 | 24 | 61,7 | 7,1 | 76,6 | 8,9 | 85,8 | 9,9 | 97,9 | 11,3 | 115,4 | 13,4 | 133,4 | 15,4 | 145,2 | 16,8 | 160,6 | 18,6 | 182,8 | 21,2 |
| 2880 | 48 | 78,3 | 4,5 | 97,2 | 5,6 | 108,9 | 6,3 | 124,2 | 7,2 | 146,4 | 8,5 | 169,2 | 9,8 | 184,1 | 10,7 | 203,7 | 11,8 | 231,8 | 13,4 |
| 4320 | 72 | 89,9 | 3,5 | 111,6 | 4,3 | 125,1 | 4,8 | 142,8 | 5,5 | 168,2 | 6,5 | 194,4 | 7,5 | 211,6 | 8,2 | 234,1 | 9,0 | 266,4 | 10,3 |
| 5760 | 96 | 99,3 | 2,9 | 123,2 | 3,6 | 138,1 | 4,0 | 157,6 | 4,6 | 185,6 | 5,4 | 214,6 | 6,2 | 233,6 | 6,8 | 258,4 | 7,5 | 294,0 | 8,5 |
| 7200 | 120 | 107,1 | 2,5 | 133,0 | 3,1 | 149,0 | 3,4 | 170,1 | 3,9 | 200,4 | 4,6 | 231,6 | 5,4 | 252,1 | 5,8 | 278,9 | 6,5 | 317,4 | 7,3 |
| 8640 | 144 | 114,1 | 2,2 | 141,6 | 2,7 | 158,6 | 3,1 | 181,0 | 3,5 | 213,3 | 4,1 | 246,6 | 4,8 | 268,4 | 5,2 | 296,9 | 5,7 | 337,8 | 6,5 |
| 10080 | 168 | 120,2 | 2,0 | 149,3 | 2,5 | 167,3 | 2,8 | 190,9 | 3,2 | 224,9 | 3,7 | 260,0 | 4,3 | 282,9 | 4,7 | 313,0 | 5,2 | 356,2 | 5,9 |

Starkniederschlagshöhen und -spenden gemäß KOSTRA-DWD-2020

Rasterfeld 215188

(Zeile 215, Spalte 188)

Örtliche Unsicherheiten in Abhängigkeit von Wiederkehrzeit T und Dauerstufe D

| Dauerstufe D | | Wiederkehrzeit T | | | | | | | | |
|--------------|-----|------------------|-----|-----|-----|------|------|------|------|-------|
| | | 1 a | 2 a | 3 a | 5 a | 10 a | 20 a | 30 a | 50 a | 100 a |
| min | Std | ± % | ± % | ± % | ± % | ± % | ± % | ± % | ± % | ± % |
| 5 | | 30 | 31 | 32 | 32 | 33 | 34 | 34 | 34 | 35 |
| 10 | | 31 | 32 | 33 | 33 | 34 | 35 | 35 | 35 | 36 |
| 15 | | 31 | 32 | 32 | 33 | 34 | 34 | 35 | 35 | 36 |
| 20 | | 30 | 31 | 32 | 33 | 33 | 34 | 34 | 35 | 35 |
| 30 | | 29 | 30 | 31 | 32 | 32 | 33 | 33 | 34 | 34 |
| 45 | | 27 | 29 | 29 | 30 | 31 | 31 | 32 | 32 | 33 |
| 60 | 1 | 26 | 27 | 28 | 29 | 30 | 30 | 31 | 31 | 31 |
| 90 | 1,5 | 24 | 26 | 26 | 27 | 28 | 28 | 29 | 29 | 30 |
| 120 | 2 | 23 | 24 | 25 | 26 | 26 | 27 | 27 | 28 | 28 |
| 180 | 3 | 22 | 23 | 24 | 24 | 25 | 26 | 26 | 26 | 27 |
| 240 | 4 | 22 | 22 | 23 | 23 | 24 | 25 | 25 | 25 | 26 |
| 360 | 6 | 22 | 22 | 22 | 23 | 24 | 24 | 24 | 25 | 25 |
| 540 | 9 | 22 | 23 | 23 | 23 | 24 | 24 | 24 | 25 | 25 |
| 720 | 12 | 24 | 24 | 24 | 24 | 25 | 25 | 25 | 25 | 25 |
| 1080 | 18 | 26 | 26 | 26 | 26 | 26 | 26 | 27 | 27 | 27 |
| 1440 | 24 | 28 | 28 | 28 | 28 | 28 | 28 | 28 | 28 | 28 |
| 2880 | 48 | 34 | 33 | 33 | 33 | 33 | 33 | 33 | 33 | 33 |
| 4320 | 72 | 38 | 37 | 37 | 36 | 36 | 36 | 36 | 36 | 36 |
| 5760 | 96 | 41 | 40 | 39 | 39 | 39 | 39 | 39 | 39 | 39 |
| 7200 | 120 | 43 | 42 | 42 | 41 | 41 | 41 | 41 | 41 | 41 |
| 8640 | 144 | 45 | 44 | 44 | 43 | 43 | 43 | 43 | 43 | 43 |
| 10080 | 168 | 47 | 46 | 45 | 45 | 45 | 45 | 45 | 45 | 44 |

Parameter für abweichende T und D

Lokationsparameter ξ (Xi)

20,78275649

Skalenparameter α (Alpha)

6,97336117

Formparameter κ (Kappa)

-0,1

1. Koutsoyiannis-Parameter θ (Theta)

0,01371588

2. Koutsoyiannis-Parameter η (Eta)

0,65725884

Parameter für dauerstufenübergreifende Extremwertschätzung nach KOUTSOYIANNIS et al. 1998.

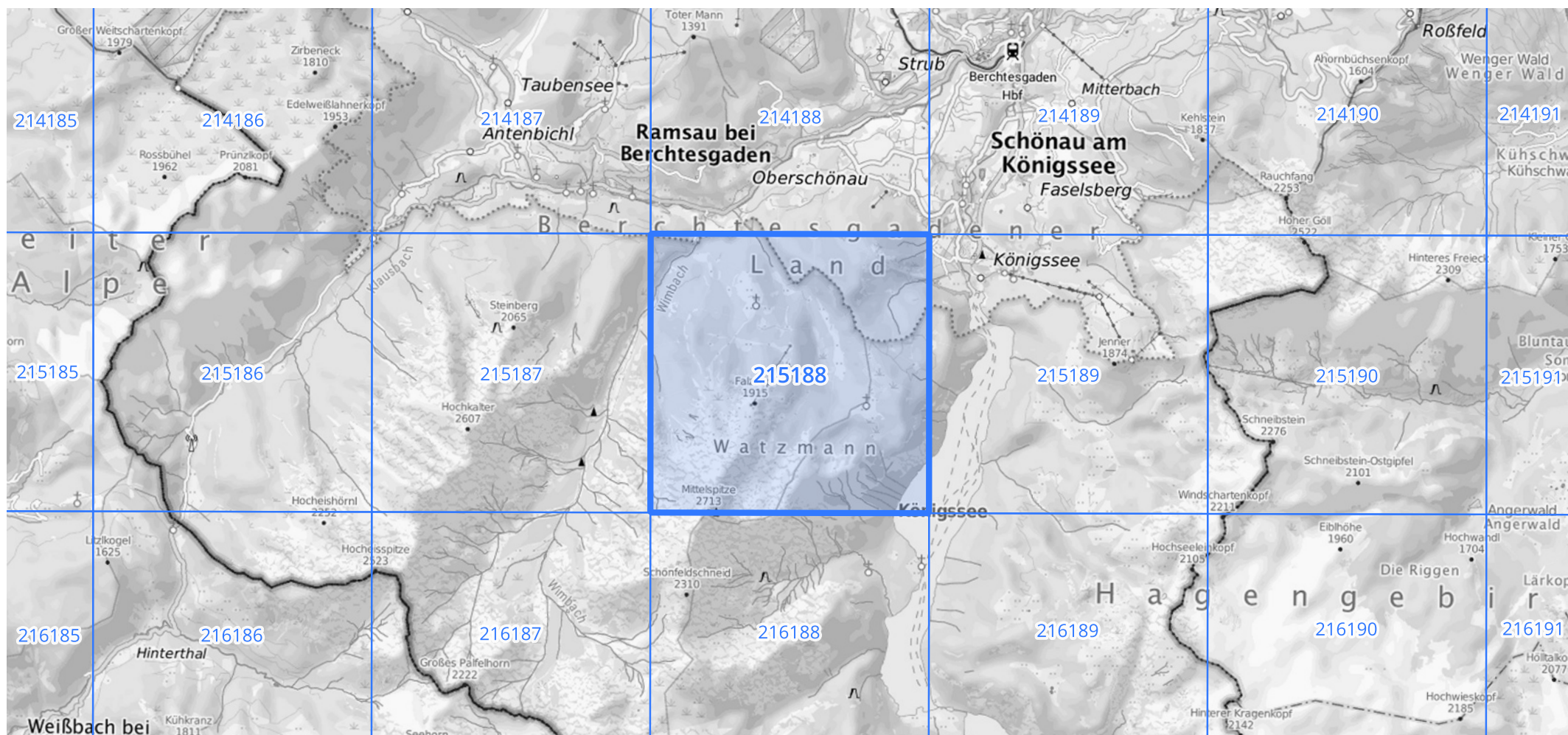
Siehe auch Anwendungshilfe zu KOSTRA-DWD-2020 des Deutschen Wetterdienstes.

Starkniederschlagshöhen und -spenden gemäß KOSTRA-DWD-2020

Rasterfeld 215188

(Zeile 215, Spalte 188)

Übersichtskarte des Rasterfeldes 215188, M 1 : 100 000



Quelle Rasterdaten: KOSTRA-DWD-2020 des Deutschen Wetterdienstes, Stand 12/2022.

Seite 3 von 3

Kartendarstellung: © Bundesamt für Kartographie und Geodäsie (2023), Datenquellen: https://sgx.geodatenzentrum.de/web_public/gdz/datenquellen/Datenquellen_TopPlusOpen.html

Für die Richtigkeit und Aktualität der Angaben wird keine Gewähr übernommen. Erstellt 01/2023.